

**Е.А. Дей**

УО «Гомельский государственный университет  
имени Франциска Скорины», Гомель, Беларусь

## **ЭФФЕКТИВНОСТЬ МЕТОДА КОНЕЧНЫХ РАЗНОСТЕЙ ПРИ РЕШЕНИИ ТРЕХМЕРНОГО СТАЦИОНАРНОГО УРАВНЕНИЯ ШРЕДИНГЕРА**

### **Введение**

Проведение исследований в области наноразмерных физических систем связано с изучением и практическим использованием все новых объектов, поведение которых подчиняется законам квантовой механики. Наряду с развитием экспериментальных средств этот процесс требует и совершенствования методов расчета трехмерных квантовых систем на основе численного решения трехмерного уравнения Шредингера.

Для расчета параметров трехмерных квантовых структур в работах [1-3] использовался стандартный метод конечных разностей, обеспечивающий точность на уровне второго порядка по шагу расчетной сетки. В работе [4] предложено обобщение метода Нумерова для трехмерной схемы, что повышает точность результатов до четвертого порядка. В силу того, что уменьшение шага расчетной сетки при решении трехмерных уравнений жестко ограничено техническими возможностями компьютера, повышение точности результатов требует использования высших порядков конечно-разностной аппроксимации частных производных от волновой функции системы.

В работах [5, 6] была исследована вычислительная эффективность метода конечных разностей, основанного на высших порядках аппроксимации вторых производных, при численном решении одномерного и двумерного стационарного уравнения Шредингера. По результатам вычислений отмечена высокая практическая точность такого подхода и удобство его программной реализации.

В данной работе использованы варианты метода конечных разностей с высшими порядками аппроксимации частных производных ( $p=2..10$ ) применительно к задаче численного решения трехмерного

стационарного уравнения Шредингера. Получены расчетные формулы и выполнена их программная реализация в системе Matlab. В качестве тестовой задачи рассмотрен расчет уровней энергии и волновых функций трехмерного гармонического осциллятора. Для каждого порядка аппроксимации вычислены собственные значения энергии, рассчитан практический порядок сходимости численной схемы. Реализовано графическое отображение трехмерной волновой функции построением линий равного уровня в сечениях  $X=0$ ,  $Y=0$ ,  $Z=0$ . Разработанная программа использована далее для численного решения уравнения Шредингера с трехмерным аналогом потенциала Хенона-Хейлеса.

### 1. Конечно-разностная аппроксимация трехмерного уравнения Шредингера

Трехмерное уравнение Шредингера в декартовых координатах имеет вид

$$-\frac{\hbar^2}{2m} \left( \frac{d^2\psi}{dx^2} + \frac{d^2\psi}{dy^2} + \frac{d^2\psi}{dz^2} \right) + V(x, y, z)\psi(x, y, z) = E\psi(x, y, z). \quad (1)$$

Для запирающих потенциалов численное решение выполняется в ограниченной области изменения аргументов  $x_{\min} \leq x \leq x_{\max}$ ,  $y_{\min} \leq y \leq y_{\max}$ ,  $z_{\min} \leq z \leq z_{\max}$ . По каждой переменной введем равномерную согласованную сетку с шагом  $h$ , так что  $x_i = x_{\min} + i \cdot h$ ,  $y_j = y_{\min} + j \cdot h$ ,  $z_k = z_{\min} + k \cdot h$ . Количество шагов по каждой переменной  $N_x = (x_{\max} - x_{\min})/h$ ,  $N_y = (y_{\max} - y_{\min})/h$ ,  $N_z = (z_{\max} - z_{\min})/h$ . Значения функций в узлах сетки обозначаются стандартным способом  $\psi_{i,j,k} \equiv \psi(x_i, y_j, z_k)$ ,  $V_{i,j,k} \equiv V(x_i, y_j, z_k)$ . По аналогии с [5, 6] используем центральные конечно-разностные аппроксимации порядка  $P$  для вторых частных производных волновой функции

$$\begin{aligned} \left. \frac{\partial^2 \psi}{\partial x^2} \right|_{x_i, y_j, z_k} &= \frac{1}{h^2} \sum_{s=-p/2}^{p/2} C_s \psi_{i+s, j, k} + O(h^p), & \left. \frac{\partial^2 \psi}{\partial y^2} \right|_{x_i, y_j, z_k} &= \frac{1}{h^2} \sum_{s=-p/2}^{p/2} C_s \psi_{i, j+s, k} + O(h^p), \\ \left. \frac{\partial^2 \psi}{\partial z^2} \right|_{x_i, y_j, z_k} &= \frac{1}{h^2} \sum_{s=-p/2}^{p/2} C_k \psi_{i, j, k+s} + O(h^p). \end{aligned} \quad (2)$$

Значения коэффициентов для соотношений (2) приведены в таблице 1.

Таблица 1 – Коэффициенты конечно-разностных аппроксимаций вторых производных для четных порядков  $P=2..10$

| $P$ | $C_0$      | $C_{\pm 1}$ | $C_{\pm 2}$ | $C_{\pm 3}$ | $C_{\pm 4}$ | $C_{\pm 5}$ |
|-----|------------|-------------|-------------|-------------|-------------|-------------|
| 2   | -2         | 1           |             |             |             |             |
| 4   | -5/2       | 4/3         | -1/12       |             |             |             |
| 6   | -49/18     | 3/2         | -3/20       | 1/90        |             |             |
| 8   | -205/72    | 8/5         | -1/5        | 8/315       | -1/560      |             |
| 10  | -5269/1800 | 5/3         | -5/21       | 5/126       | -5/1008     | 1/3150      |

Замена вторых производных в уравнении Шредингера (1) на конечно-разностные выражения (2) приводит к системе линейных однородных уравнений относительно значений волновой функции во внутренних узлах сетки  $i = 1..N_x - 1$ ,  $j = 1..N_y - 1$ ,  $k = 1..N_z - 1$ . В системе единиц  $\hbar = 1$ ,  $m = 1$  уравнения системы имеют вид

$$-\frac{1}{2h^2} \sum_{s=-p/2}^{p/2} C_s \psi_{i+s,j,k} - \frac{1}{2h^2} \sum_{s=-p/2}^{p/2} C_s \psi_{i,j+s,k} - \frac{1}{2h^2} \sum_{s=-p/2}^{p/2} C_s \psi_{i,j,k+s} + V(x_i, y_j, z_k) \psi_{i,j,k} = E \psi_{i,j,k} \quad (3)$$

Для связанных состояний на границе расчетной области и за ее пределами волновая функция при численном расчете считается равной нулю, поэтому значения функции с неположительными номерами узлов и с номерами, превышающими  $N_x, N_y, N_z$ , не дают вклада в уравнения:

$$\psi_{-s,j,k} = \psi_{N_x+s,j,k} = 0, \quad \psi_{i,-s,k} = \psi_{i,N_y+s,k} = 0, \quad \psi_{i,j,-s} = \psi_{i,j,N_z+s} = 0, \quad s = 0..P/2.$$

На основании (3) несложно записать явный вид системы линейных уравнений для любого значения  $P$ .

При  $P=2$  из (3) получаем стандартный вариант системы линейных однородных уравнений метода конечных разностей для трехмерного уравнения Шредингера [1, 2]

$$-\frac{1}{2h^2} (\psi_{i-1,j,k} + \psi_{i+1,j,k} + \psi_{i,j-1,k} + \psi_{i,j+1,k} + \psi_{i,j,k-1} + \psi_{i,j,k+1}) + \left( \frac{3}{h^2} + V_{i,j,k} \right) \psi_{i,j,k} = E \psi_{i,j,k}.$$

При  $P=4$  система уравнений (3) принимает вид

$$\frac{1}{24h^2} (\psi_{i-2,j,k} + \psi_{i+2,j,k} + \psi_{i,j-2,k} + \psi_{i,j+2,k} + \psi_{i,j,k-2} + \psi_{i,j,k+2}) - \frac{2}{3h^2} (\psi_{i-1,j,k} + \psi_{i+1,j,k} + \psi_{i,j-1,k} + \psi_{i,j+1,k} + \psi_{i,j,k-1} + \psi_{i,j,k+1}) + \left( \frac{15}{4h^2} + V_{i,j,k} \right) \psi_{i,j,k} = E \psi_{i,j,k}.$$

## 2. Исследование вычислительных свойств метода конечных разностей при решении трехмерного уравнения Шредингера

В качестве тестовой задачи было рассмотрено уравнение Шредингера с потенциалом трехмерного гармонического осциллятора

$V(x) = (x^2 + y^2 + z^2)/2$  в области  $-L \leq x \leq L$ ,  $-L \leq y \leq L$ ,  $-L \leq z \leq L$ . Эта задача позволяет протестировать метод для случая гладкого запирающего потенциала и сравнить результаты с точными значениями  $E_n^{точн} = n + 1$ , где  $n = n_x + n_y + n_z$ ,  $n_x, n_y, n_z = 0, 1, 2, \dots$ . Специфика трехмерной задачи состоит в высокой степени вырождения энергетических уровней [4]. Для уровня  $E_n$  кратность вырождения равна  $(n+1)(n+2)/2$ .

Для численного решения использована сплошная нумерация узловых значений функции  $g = (N_x - 1)(N_y - 1)(k - 1) + (N_x - 1)(j - 1) + i$ , тогда система (3) представляется в матричной форме и образует стандартную матричную задачу на собственные значения относительно энергии трехмерной квантовой системы

$$\sum_{g'=1}^N M_{g,g'} \psi_{g'} = E \psi_g, \quad (4)$$

где  $M$  – матрица коэффициентов.

Расчет матричных соотношений (4) и численное решение задачи на собственные значения реализованы в вычислительной среде Matlab с использованием технологии разреженных матриц. Полученные в ходе решения значения абсолютной погрешности  $|E_i^{числен} - E_i^{точн}|$  первых последовательных  $i=1..50$  вычисленных уровней  $E_i^{числен}$  для значений параметров  $L=4,8$ ;  $h=0,24$  и различных порядков аппроксимации частных производных  $P$  приведены в таблице 2.

Таблица 2 – погрешность вычисленных уровней энергии трехмерного гармонического осциллятора для различных порядков аппроксимации частных производных ( $L=4,8$ ;  $h=0,24$ )

| $i$ | $n$ | $E_n^{точн}$ | $P=2$    | $P=4$    | $P=6$    | $P=8$    | $P=10$   |
|-----|-----|--------------|----------|----------|----------|----------|----------|
| 1   | 0   | 1,5          | 5,41e-03 | 1,01e-04 | 3,22e-06 | 1,42e-07 | 6,30e-09 |
| 5   | 2   | 3,5          | 2,72e-02 | 9,07e-04 | 4,48e-05 | 2,35e-06 | 1,50e-08 |
| 10  | 2   | 3,5          | 1,99e-02 | 5,07e-04 | 2,02e-05 | 1,03e-06 | 3,66e-07 |
| 15  | 3   | 4,5          | 3,44e-02 | 1,11e-03 | 5,33e-05 | 2,79e-06 | 3,61e-07 |
| 20  | 3   | 4,5          | 2,71e-02 | 7,09e-04 | 2,87e-05 | 1,47e-06 | 6,79e-06 |
| 25  | 4   | 5,5          | 5,64e-02 | 2,36e-03 | 1,37e-04 | 3,40e-06 | 7,38e-07 |
| 30  | 4   | 5,5          | 4,90e-02 | 1,71e-03 | 8,64e-05 | 3,24e-06 | 6,79e-06 |
| 35  | 4   | 5,5          | 4,17e-02 | 1,31e-03 | 6,18e-05 | 4,05e-05 | 6,84e-05 |
| 40  | 5   | 6,5          | 8,58e-02 | 4,48e-03 | 2,70e-04 | 5,16e-06 | 6,79e-06 |
| 45  | 5   | 6,5          | 7,10e-02 | 2,97e-03 | 1,70e-04 | 3,85e-06 | 7,17e-06 |
| 50  | 5   | 6,5          | 7,10e-02 | 2,97e-03 | 1,70e-04 | 4,00e-05 | 6,84e-05 |

В ходе численного решения потребовалось использование квадратной матрицы размером  $59319 \times 59319$ , содержащей 406107 ненулевых элементов для  $P=2$  и 1701999 ненулевых элементов для  $P=10$ .

По результатам трех последовательных расчетов при значениях шага  $h, 2h, 4h$  был рассчитан практический порядок сходимости численных схем

$$\tilde{P} = \log_2 \left( \frac{E_n^{(4h)} - E_n^{(2h)}}{E_n^{(2h)} - E_n^{(h)}} \right) \quad (5)$$

для различных значений теоретического порядка  $P$ . Значения практического порядка сходимости  $\tilde{P}$  приведены в таблице 3. Результаты показывают, что вычисленный практический порядок сходимости несколько ниже теоретического значения. Снижение практического порядка можно объяснить большим количеством вырожденных уровней, вычисление которых подпрограммами линейной алгебры выполняется с различной точностью.

Таблица 3 – Расчет практического порядка сходимости  $\tilde{P}$  для различных порядков аппроксимации частных производных при  $L=4,8$ ;  $h=0,24$ .

| $i$ | $n$ | $E_n^{точн}$ | $P=2$ | $P=4$ | $P=6$ | $P=8$ | $P=10$ |
|-----|-----|--------------|-------|-------|-------|-------|--------|
| 1   | 0   | 1,5          | 2,141 | 3,874 | 5,559 | 7,163 | 8,689  |
| 5   | 2   | 3,5          | 2,629 | 4,163 | 5,908 | 7,430 | 8,870  |
| 10  | 2   | 3,5          | 2,029 | 4,164 | 5,147 | 6,479 | 7,638  |
| 15  | 3   | 4,5          | 2,517 | 5,160 | 5,800 | 7,316 | 8,744  |
| 20  | 3   | 4,5          | 2,304 | 2,011 | 5,119 | 6,437 | 7,076  |
| 25  | 4   | 5,5          | 2,404 | 3,001 | 5,213 | 6,532 | 7,803  |
| 30  | 4   | 5,5          | 1,652 | 3,002 | 4,617 | 5,516 | 5,571  |
| 35  | 4   | 5,5          | 1,983 | 4,467 | 5,110 | 5,992 | 5,786  |
| 40  | 5   | 6,5          | 2,206 | 5,049 | 5,623 | 7,044 | 8,372  |
| 45  | 5   | 6,5          | 1,857 | 5,050 | 4,646 | 5,760 | 6,709  |
| 50  | 5   | 6,5          | 1,857 | 2,908 | 4,646 | 5,735 | 6,598  |

Нетривиальным вопросом является способ графического отображения трехмерной волновой функции. В определенной степени представление о распределении значений функции в пространстве дают двумерные графики линий равных значений, построенные в сечениях  $X=0, Y=0, Z=0$ . На рисунке 1 такие изображения приведены для ненормированной волновой функции основного состояния трехмерного гармонического осциллятора. Вид функции указывает на корректность полученных результатов.

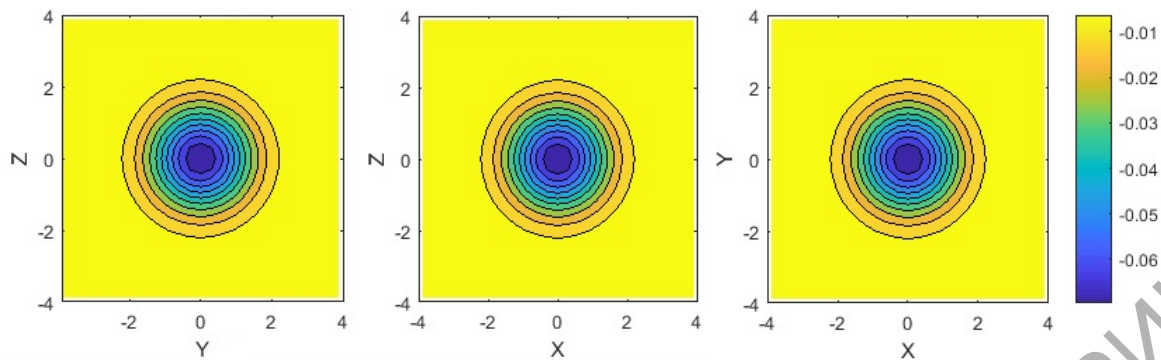


Рисунок 1 – Линии равных значений волновой функции состояния  $n=1$  трехмерного осциллятора в плоскостях  $X=0$ ,  $Y=0$ ,  $Z=0$  соответственно

### 3. Численное решение уравнения Шредингера с трехмерным аналогом потенциала Хенона-Хейлеса

Изложенные расчетные схемы метода конечных разностей были использованы для численного решения трехмерного уравнения Шредингера с потенциалом, являющимся трехмерным обобщением потенциала Хенона-Хейлеса [7]

$$V(x, y, z) = (x^2 + y^2 + z^2)/2 - 0,1(xy^2 + 0,1x^3 + yz^2 + 0,1y^3). \quad (8)$$

В таблице 4 приведены значения энергетических уровней в сравнении с результатами работы [7], полученными методом дискретного представления переменных (DVR-method). На рисунке 2 приведены графики ненормированной волновой функции состояния  $i=6$  для случая потенциала (8).

Таблица 4 – вычисленные уровни энергии для трехмерного аналога потенциала Хенона-Хейлеса

| $i$ | Результаты [7] | МКР, $P=10$ ,<br>$L=4,8$ $h=0,24$ | $i$ | Результаты [7] | МКР, $P=10$ ,<br>$L=4,8$ $h=0,24$ |
|-----|----------------|-----------------------------------|-----|----------------|-----------------------------------|
| 1   | 1,49388975     | 1,493889752                       | 11  | 4,36246632     | 4,362541470                       |
| 2   | 2,47041786     | 2,470418049                       | 12  | 4,37333156     | 4,373350879                       |
| 3   | 2,47996173     | 2,479961786                       | 13  | 4,39593487     | 4,395949334                       |
| 4   | 2,49168459     | 2,491684617                       | 14  | 4,41909346     | 4,419114039                       |
| 5   | 3,42714282     | 3,427147984                       | 15  | 4,42935670     | 4,429372997                       |
| 6   | 3,43827646     | 3,438277425                       | 16  | 4,45122547     | 4,451233703                       |
| 7   | 3,45388584     | 3,453887286                       | 17  | 4,45262411     | 4,452630002                       |
| 8   | 3,47192175     | 3,471922700                       | 18  | 4,47208896     | 4,472093174                       |
| 9   | 3,48408013     | 3,484080275                       | 19  | 4,48245731     | 4,482471319                       |
| 10  | 3,48631241     | 3,486313523                       | 20  | 4,48258834     | 4,482589363                       |

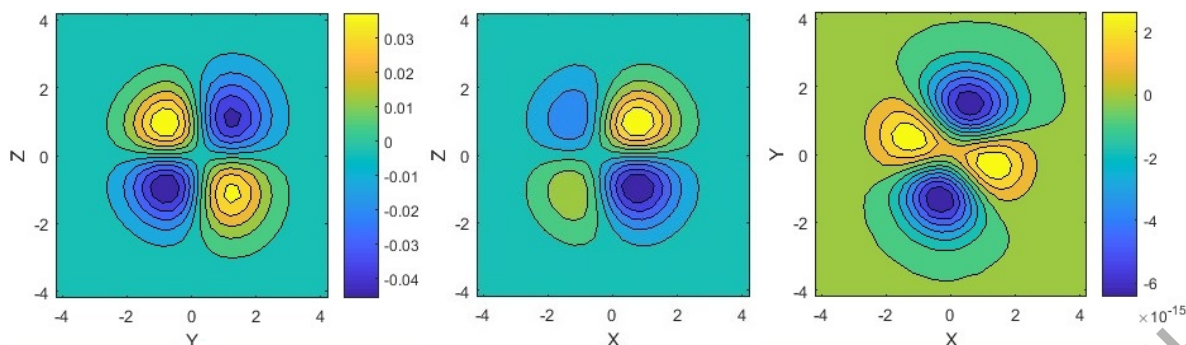


Рисунок 2 – Линии равных значений волновой функции состояния  $i=6$  трехмерного аналога потенциала Хенона-Хейлеса в плоскостях  $X=0$ ,  $Y=0$ ,  $Z=0$  соответственно

### Заключение

В работе выполнено исследование вычислительной эффективности высших порядков метода конечных разностей при решении трехмерного уравнения Шредингера. Реализовано графическое отображение трехмерных волновых функций построением линий равного уровня в сечениях  $X=0$ ,  $Y=0$ ,  $Z=0$ .

Результаты расчетов показывают, что получить приемлемые результаты при решении трехмерного уравнения Шредингера методом конечных разностей можно только с использованием высших порядков аппроксимации частных производных волновой функции. Существенно то, что метод конечных разностей приводит к стандартной, а не обобщенной матричной задаче на собственные значения.

Дальнейшее повышение точности результатов может быть достигнуто развитием обобщенного метода Нумерова для конечно-разностных схем высших порядков, предложенного в [8], на трехмерный случай и использованием экстраполяции расчетов на последовательности сеток.

### Литература

1. Deyasi, A. Computation of intersubband transition energy in normal and inverted core-shell quantum dots using finite difference technique / A. Deyasi, S. Bhattacharyya, N.R. Das // Superlattices and Microstructures. – 2013. – Vol. 60. – P. 414–425.
2. Liang, Gong Numerical analysis on quantum dots-in-a-well structures by finite difference method / Gong Liang, Shu Yong-chun, Xu Jing-jun, Zhu Qin-sheng, Wang Zhan-guo // Superlattices and Microstructures. – 2013. – Vol. 60. – P. 311–319.

3. Bouazra, A. Numerical modelling of InAs quantum dot with application of coordinate transformation and finite difference method / A. Bouazra, S. Mnasri, S. Abdi-Ben Nasrallah, M. Said // *Computer Physics Communications*. – 2014. – Vol.185. – P. 1290–1298.

4. Graen, T. NuSol – Numerical solver for the 3D stationary nuclear Schrödinger equation / T. Graen, H. Grubmüller // *Computer Physics Communications*. – 2016. – Vol. 198. – P. 169–178.

5. Дей, Е.А. Эффективность высших порядков метода конечных разностей при решении стационарного уравнения Шредингера / Е.А. Дей // *Известия ГГУ* – 2013. – № 6. – С. 178–183.

6. Дей, Е.А. Эффективность метода конечных разностей при решении двумерного стационарного уравнения Шредингера / Е.А. Дей // *Материалы IV Международной научной конференции «Проблемы взаимодействия излучения с веществом», посвященной 90-летию со дня рождения Б.В. Бокутя (9-11 ноября 2016 г.)* – Гомель: ГГУ им. Ф. Скорины, 2016, часть 1, с. 141–146.

7. Yu, Hua-Gen A coherent discrete variable representation method for multidimensional systems in physics / Hua-Gen Yu // *Journal of Chemical Physics*. – 2005. – Vol. 122. – P. 164107-1–164107-6.

8. Дей, Е.А. Численное решение стационарного уравнения Шредингера обобщенным методом Нумерова / Е.А. Дей // *Известия ГГУ*. – 2012, №6. – С. 31–37.